

СООБЩЕНИЯ
ОБЪЕДИНЕННОГО
ИНСТИТУТА
ЯДЕРНЫХ
ИССЛЕДОВАНИЙ

Дубна

97-28

P17-97-28

Т.Л.Бояджиев¹, Н.В.Алексеева²

«ОПТИМАЛЬНЫЕ» ДЖОЗЕФСОНОВСКИЕ РЕШЕТКИ
ИЗ РЕЗИСТИВНЫХ НЕОДНОРОДНОСТЕЙ

¹Факультет математики и информатики, Софийский университет
«Св. Климент Охридский», бул. «Дж. Баучер» 5, София, Болгария
E-mail: todorlb@fmi.uni-sofia.bg

²Department of Applied Mathematics, University of Cape Town,
Rondebosch, 7700, Western Cape, South Africa
E-mail: nora@maths.uct.ac.za

1. Постановка задачи

Настоящая работа посвящена численному исследованию стационарных пространственно-периодических состояний магнитного потока в одномерном джозефсоновском контакте, представляющем собой решетку из резистивных неоднородностей конечного размера. Работа является развитием исследований авторов по указанной тематике, начатых в [1].

Математическая модель такого контакта сводится к решению граничной задачи для нелинейного уравнения

$$-\Phi_{xx} + j_D(x) \sin \phi + \gamma = 0, \quad x \in [-R, R] \quad (1)$$

с периодическими граничными условиями

$$\phi(-R) = \phi(R), \quad \phi_x(-R) = \phi_x(R). \quad (2)$$

Здесь $j_D(x)$ – заданная периодическая функция (см. ниже), моделирующая распределение амплитуды тока Джозефсона вдоль решетки, $2R$ – длина пространственной волны, γ – внешний ток.

Как обычно [2], будем говорить, что решение $\phi(x)$ является устойчивым, если минимальное собственное значение λ_{\min} задачи Штурма–Лиувилля

$$-\Psi_{xx} + q(x) \Psi = \lambda \Psi, \quad (3)$$

$$\Psi_x(\pm R) = 0 \quad (4)$$

с потенциалом

$$q(x) = j_D(x) \sin \phi(x), \quad (5)$$

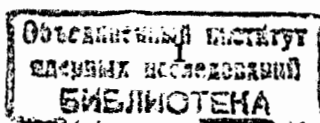
порожденным этим решением, является положительным.

Остановимся более подробно на выборе зависимости $j_D(x)$. Для однородного контакта $j_D(x) \equiv 1$. В неоднородном контакте функция $j_D(x)$ определяется принятой моделью неоднородностей и их количеством [2 – 5]. В предлагаемой работе мы используем модель неоднородностей в виде равнобедренной трапеции (см. рис. 1). В рамках такой модели единичная симметричная неоднородность джозефсоновского тока характеризуется двумя геометрическими параметрами – шириной нижнего и верхнего оснований трапеции, μ и $\sigma = m\mu$ соответственно, где $m \geq 1$ – параметр. Во всех случаях высота трапеции в безразмерных единицах [2] равна 1.

При $m = 1$ неоднородность представляет собой прямоугольник с основанием μ . Более реалистичными являются неоднородности, для которых параметр $m > 1$. Изменение амплитуды тока Джозефсона с 1 до 0 в такой неоднородности происходит на интервале длиной

$$\delta = \frac{m-1}{2} \mu,$$

зависящей от конкретного значения ширины μ .



Большинство вычислений в этой работе проводилось для значения $m = 1.5$, т.е. параметр $\delta = \mu/4$.

Аналитическое выражение для амплитуды $j_D(x)$ в контакте с одной неоднородностью с центром в точке x_j , имеет вид

$$j_D(x) = 1 - \eta(x, x_j, \mu, m),$$

где функция

$$\eta(x) = \frac{2m}{\mu(1+m)} \begin{cases} \left(x - x_j + \frac{\mu}{2m}\right)_+ - \left(x - x_j + \frac{\mu}{2}\right)_+ \\ - \left(x - x_j - \frac{\mu}{2}\right)_+ + \left(x - x_j - \frac{\mu}{2m}\right)_+ \end{cases},$$

а через x_+ обозначена единичная ступенчатая функция Хэвисайда:

$$x_+ = \begin{cases} x, & x \geq 0; \\ 0, & x < 0 \end{cases}$$

"Бесконечная" решетка из неоднородностей указанного выше вида характеризуется расстоянием Δ между центрами неоднородностей. Величины Δ , μ и m связаны очевидным неравенством $\mu \leq \frac{\Delta}{m}$, обеспечивающим неперекрытия неоднородностей на уровне $j_D = 1$. Для принятого нами значения $m = 1.5$ это означает, что $\mu \leq 2\Delta/3$.

Решетка является симметрической, если $\Delta - \sigma = \mu$, откуда

$$\mu = \frac{\Delta}{1+m}.$$

При $m = 1.5$ для симметричной решетки имеем условие $\mu = 0.4\Delta$.

Подробное описание алгоритма и численного метода решения задач (1) – (4) приведено в нашей недавной работе [1]. Для нелинейной краевой задачи (1), (2) использовался непрерывный аналог метода Ньютона [6] с оптимальным шагом [7]. На каждой итерации соответствующая линейная краевая задача решалась при помощи сплайн-коллокационной схемы второго порядка точности на неравномерной сетке, сгущающейся в окрестности неоднородностей.

2. Обсуждение результатов численного эксперимента

Любое решение $\phi(x, \Delta, \mu, N_l, \gamma)$ краевой задачи (1), (2) зависит от геометрических параметров Δ , μ и N_l , а также и от физического параметра γ . Здесь величина N_l представляет собой количество неоднородностей, огибаемых одной волной $\phi(x)$, длина которой $2R = N_l \Delta$. Каждой такой волне можно поставить в соответствие

конечный контакт с N_l симметрично расположенными относительно центра контакта неоднородностями и симметрическими граничными условиями Неймана:

$$\phi_x(\pm R) = h_0, \quad (6)$$

где постоянная h_0 имеет смысл напряженности магнитного поля на концах контакта. В этом смысле величину $2R$ можно назвать длиной контакта.

В силу формулы (5) потенциал задачи Штурма–Лиувилля (3), (4) и, следовательно, соответствующие собственные значения и собственные функции, также зависят от параметров Δ , μ и N_l . Таким образом, устойчивость состояний магнитного потока в решетке является функцией указанных параметров.

Отметим, что при нулевом внешнем токе γ задача (1), (2) для всех N_l имеет "вакуумные" (мейсснеровские) решения вида

$$\phi(x) = k\pi, \quad k = 0, \pm 1, \pm 2, \dots \quad (7)$$

При этом решения вида (7), соответствующие нулевому или четному k устойчивы, а соответствующие нечетному значению k – неустойчивы (см. формулу (5) для потенциала задачи Штурма–Лиувилля).

Рассмотрим сначала влияние геометрических параметров на возможные состояния магнитного потока в решетке.

В контакте с $N_l = 1$ при $2R = \Delta < 2\pi$ мы нашли только два периодических решения задачи (1), (2) – устойчивое и неустойчивое мейсснеровское. Такой контакт следует рассматривать как "короткий" для периодических решений, однако, отметим, что в контакте с единичной неоднородностью и граничными условиями вида (6) при указанной длине имеются [8] нетривиальные устойчивые непериодические решения (на рис. 2 производная $\phi_x(x)$ одного из таких решений отмечена символом " \diamond "). При достаточно больших значениях расстояния Δ в контакте рождаются нетривиальные неустойчивые периодические решения. Среди них наиболее интересным представляется решение, производная которого отмечена символом " Δ " на рис. 2. Ввиду его формы, это решение можно условно назвать солитоном. Оно остается неустойчивым в очень широком диапазоне изменения величин Δ и μ , что демонстрируется на рис. 3 и рис. 4. Второе неустойчивое решение (отмеченное символом " \square " на рис. 2) в реальном контакте с одной неоднородностью существует только при большом поле h_0 на концах.

В случае $N_l = 2$ в решетке появляется периодический устойчивый солитон (называемый далее "основным" солитоном) магнитного потока. Это решение отмечено символом " \circ " на рис. 2 и рис. 5. По-видимому, периодический магнитный поток $\phi(x)$ в реальном контакте с двумя расположенными симметрично относительно

середины контакта неоднородностями можно рассматривать как результат "взаимодействия" двух непериодических устойчивых состояний - флоксона и антифлоксона, которые локализованы на соседних неоднородностях при достаточно большом расстоянии Δ между ними. В то же время неустойчивые решения в случае $N_I = 1$ являются результатом "взаимодействия" неустойчивых флоксонов, оторванных от неоднородности.

Указанные соображения, возможно, позволяют сделать предположение, что в случае $N_I = 1$ уравнение (1) не имеет нетривиальных периодических устойчивых решений [9].

Решение на рис. 5, отмеченное символом " ∇ " (вторичный солитон), является примером слабоустойчивого состояния (с небольшим λ_{\min}), обладающего гораздо большей (примерно в четыре раза) энергией, чем основной солитон. Такое решение существует в ограниченной области изменения параметров решетки, в частности, при больших Δ и μ . Обоим решениям соответствуют также решения, симметричные им относительно оси x , которые мы называем (основным и вторичным) антисолитонами. Остальные два решения на рис. 5, отмеченные соответственно символами " \square " и " \diamond ", неустойчивы (для этих решений $\lambda_{\min} < 0$).

На рис. 6 показаны графики зависимости минимальных собственных значений $\lambda_{\min}(\mu)$ задачи Штурма–Лиувилля (3), (4) для двух устойчивых состояний в решетке с $N_I = 2$ при разных значениях расстояния Δ и нулевом внешнем токе γ . Важно отметить, что все кривые имеют хорошо выраженный максимум в некоторой точке $\mu_c(\Delta)$, зависящий от конкретного решения. Это означает, что в решетке с фиксированным расстоянием Δ между неоднородностями, ширина которых равна μ_c , соответствующий периодический солитон магнитного потока является наиболее устойчивым (малое нестационарное возмущение такого солитона затухает наиболее быстро, см. основополагающую работу [2]). Положение точки максимума μ_c для основного солитона незначительно зависит от величины Δ и имеет приближенное значение $\mu_c \approx 1.3$.

В реальном контакте с двумя неоднородностями в нулевом магнитном поле h_0 на концах (см. условия (6)) кроме периодического, рассмотренного выше, есть также и непериодические устойчивые состояния магнитного потока. На рис. 7 показаны производные $\varphi_x(x)$ таких решений (распределение магнитного поля вдоль контакта) для значений параметров $R = 6$, $N_I = 2$, $h_0 = 0$, $\gamma = 0$ (решения, симметрические относительно координатных осей, не приведены). Состояние, отмеченное символом " \circ " (см. также рис. 5), является периодическим, а остальные нет. Энергия "сложных" состояний, локализованных на более чем одной неоднородности (и, в частности,

периодическое состояние), существенно больше по сравнению с "простым" солитоном (отмеченным символом " ∇ "), который связан только с одной неоднородностью. Наоборот, минимальное собственное значение для "простого" солитона больше по сравнению со "сложными" солитонами.

Представляется важным отметить, что кривые зависимости $\lambda_{\min}(\mu)$ как для периодических, так и для непериодических состояний имеют (см. рис. 8) строгий максимум, значение которого $\mu_c \approx 1.3$ не зависит от типа решения. Для сравнения, на рис. 8 приведена также и кривая $\lambda_{\min}(\mu)$ (отмеченная символом " \diamond ") для устойчивого флоксона в реальном контакте с одной неоднородностью.

Кривые зависимости $\lambda_{\min}(\Delta)$ для решетки с $N_I = 2$, $\mu = 2.4$ при нулевом внешнем токе γ для устойчивых и некоторых неустойчивых решений в решетке демонстрируются на рис. 9. В точке бифуркации B_0 основное нетривиальное устойчивое решение (солитон) переходит в неустойчивое (отмеченное символом " \square " на рис. 5) и наоборот. Для столь "узких" неоднородностей второй солитон является неустойчивым. Точка B_1 является точкой бифуркации этого неустойчивого решения в другое неустойчивое (отмеченное символом " \diamond " на рис. 5) – в нуль обращается второе собственное значение задачи (3), (4). Увеличение ширины μ неоднородностей "поднимает" кривую $\lambda_{\min}(\Delta)$ вверх, выше некоторого критического значения μ , второй солитон становится устойчивым.

Рассмотрим теперь влияние внешнего тока γ на состояния магнитного поля в решетке. Как известно [10, 11], в неоднородном контакте при увеличении абсолютного значения внешнего тока устойчивые состояния в конечном итоге теряют устойчивость. В периодическом случае ситуация аналогична – процесс "разрушения" током магнитного поля хорошо прослеживается на рис. 10. Видно, что положительные значения тока γ "сжимают" поле к центру между двумя неоднородностями, а отрицательные γ – наоборот, "выталкивают" поле к соседним неоднородностям решетки (в реальном контакте с двумя неоднородностями – к границам контакта).

На рис. 11 демонстрируются зависимости $\lambda_{\min}(\gamma)$ для всех найденных (как устойчивых, так и неустойчивых) состояний в джозефсоновской решетке с параметрами $N_I = 2$, $\Delta = 6$, $\mu = 2.4$. Графики, отвечающие устойчивым решениям, симметричны относительно прямой $\gamma = 0$. Как и выше, через B_0 обозначены точки бифуркации решений, соответствующие решениям уравнения $\lambda_{\min}(\gamma) = 0$.

Пусть γ_a и γ_b – корни этого уравнения для основного солитона (антисолитона) (на рис. 11 указанным корням отвечают точки B_{0a} и B_{0b}). Разность

$$\Delta\gamma = \gamma_b - \gamma_a$$

будем называть интервалом (зоной) устойчивости основного солитона по внешнему току γ . В общем случае величина $\Delta\gamma$ является функцией параметров μ и Δ . На рис. 12 демонстрируются кривые зависимости $\Delta\gamma(\mu)$ для нескольких фиксированных значений расстояния Δ . Во всей физически существенной области изменения переменной μ эти кривые хорошо аппроксимируются кубическими полиномами с коэффициентами, зависящими от Δ . Точки максимума μ_c , определяют для заданного Δ ту ширину неоднородностей, при которой основной периодический солитон в решетке имеет наибольший интервал $\Delta\gamma$ устойчивости по току γ .

Отметим, что график зависимости $\mu_c(\Delta)$ с хорошей точностью можно рассматривать как прямую $\mu_s(\Delta) = a\Delta + b$ (см. рис. 13, нижнюю прямую, отмеченную символами "о"). Фитирование данных численного эксперимента для $\mu_c(\Delta)$ дает следующие значения для параметров: $a \approx 0.254$, $b \approx -8.5 \cdot 10^{-3}$.

На основе полученных результатов можно сконструировать "оптимальный" контакт, для геометрических характеристик которого выполнено условие

$$\mu_c = \mu_s(\Delta_{opt}).$$

Отсюда в случае $N_I = 2$ приходим к формуле $\Delta_{opt} \approx 4\mu_c$. Таким образом, "оптимальное" расстояние между неоднородностями $\Delta_{opt} \approx 5.2$.

Поведение основного солитона, огибающего $N_I = 3$ неоднородностей, при изменении параметров задачи качественно не отличается от рассмотренного случая $N_I = 2$. Магнитное поле $\phi_x(x)$ этого солитона сконцентрировано на "первой" и "третьей" неоднородностях. Кривые $\lambda_{min}(\mu)$ имеют вид, аналогичный показанному на рис. 6, причем точки максимума μ_c варьируют в интервале от $\mu_c = 1.288$ для $\Delta = 6$ до $\mu_c = 1.323$ для $\Delta = 9$, т.е. также как и выше, можно принять $\mu_c \approx 1.3$. На рис. 13 метками " Δ " демонстрируется прямая зависимости $\mu_c(\Delta)$ (соответствующие коэффициенты прямой имеют значения $a \approx 0.255$ и $b \approx 0.145$). Следовательно, "оптимальное" расстояние между неоднородностями в случае $N_I = 3$ примерно равно $\Delta_{opt} \approx 5.8$.

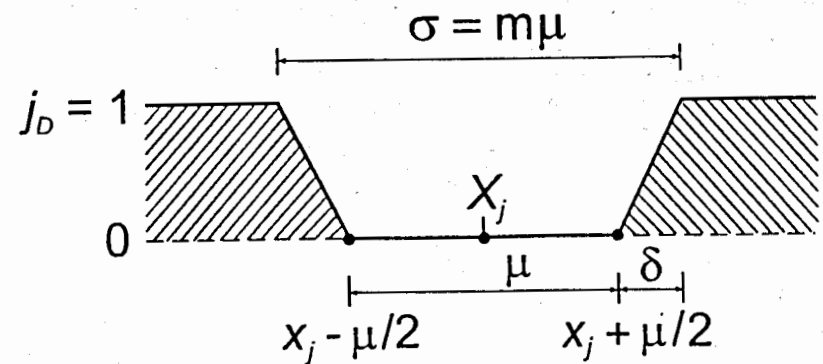
3. Заключение

Показано, что в джозефсоновских решетках из резистивных неоднородностей существуют устойчивые периодические состояния

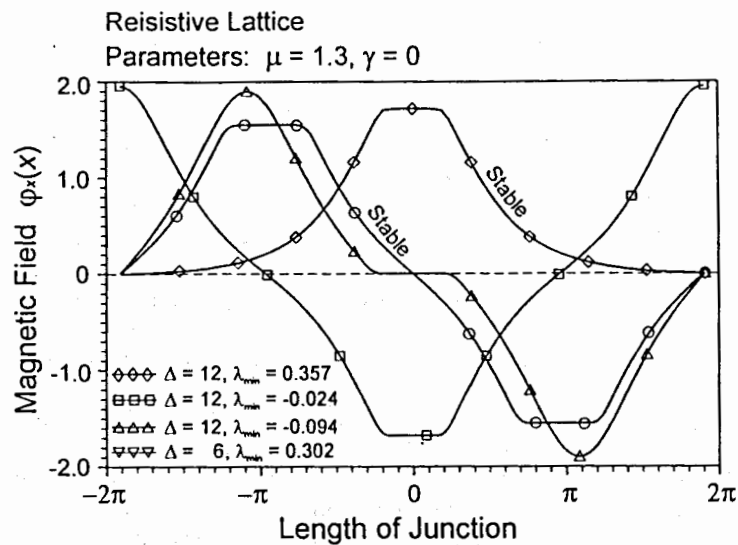
магнитного потока, которые локализованы на неоднородностях и имеют некоторую минимальную длину волны. Исследовано поведение устойчивых состояний при изменении расстояния Δ между центрами неоднородностей и их ширины μ . В частности, кривая $\lambda_{min}(\mu)$ для конкретного распределения магнитного потока при заданном Δ имеет в некоторой точке μ_c максимум, т.е. в такой решетке данное распределение является наиболее устойчивым. Исследована также зависимость ширины области $\Delta\gamma$ изменения внешнего тока γ , в которой существуют устойчивые решения, от параметра μ . При определенном соотношении между шириной неоднородностей и расстоянием между их центрами, состояния магнитного потока в контакте являются наиболее устойчивыми, имея при этом наибольший интервал $\Delta\gamma$ допустимого изменения внешнего тока.

Авторы выражают благодарность проф. И.В. Пузинину и проф. С.Н. Димовой за ценные замечания.

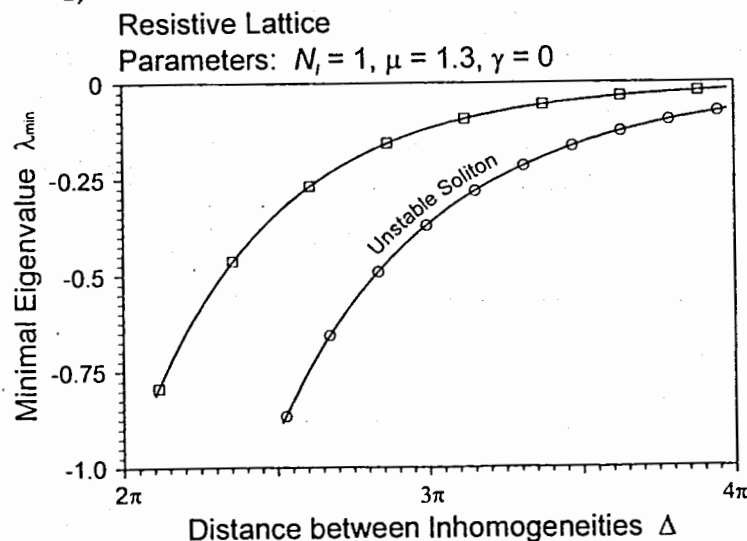
Эта работа финансировалась частично Министерством образования, науки и технологий Болгарии по договору MM-425/94, а также частично фондом FRD Южно-Африканской Республики.



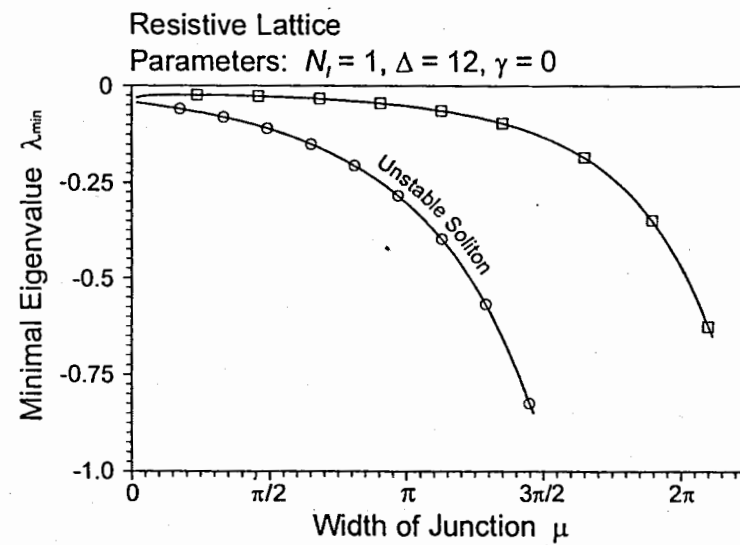
1. Геометрическая модель резистивной неоднородности



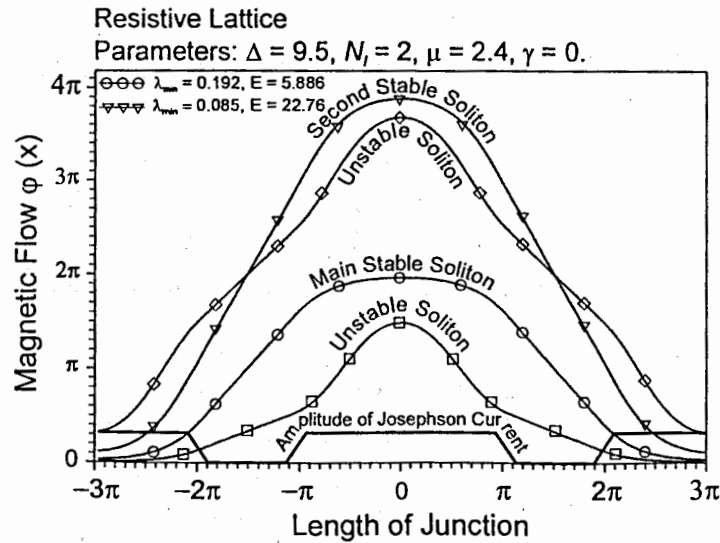
2. Некоторые распределения магнитного поля $\phi_x(x)$ вдоль решетки из неоднородностей. Решение “◊” - устойчивый непериодический солитон магнитного поля при $N_l = 1$, решения “□” и “Δ” - неустойчивые периодические ($N_l = 1$), “○” - устойчивое периодическое ($N_l = 2$)



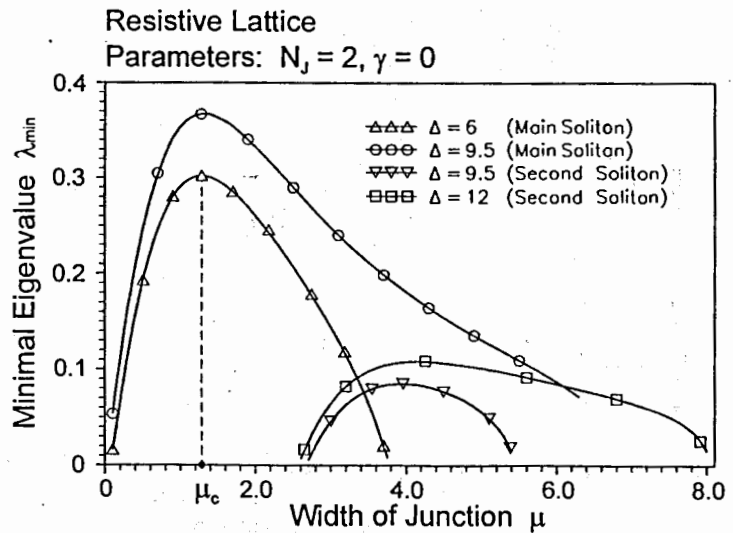
3. Графики зависимости минимального собственного значения λ_{\min} задачи Штурма-Лиувилля (3), (4) от расстояния Δ между неоднородностями для решений “□” и “Δ” с рис.2



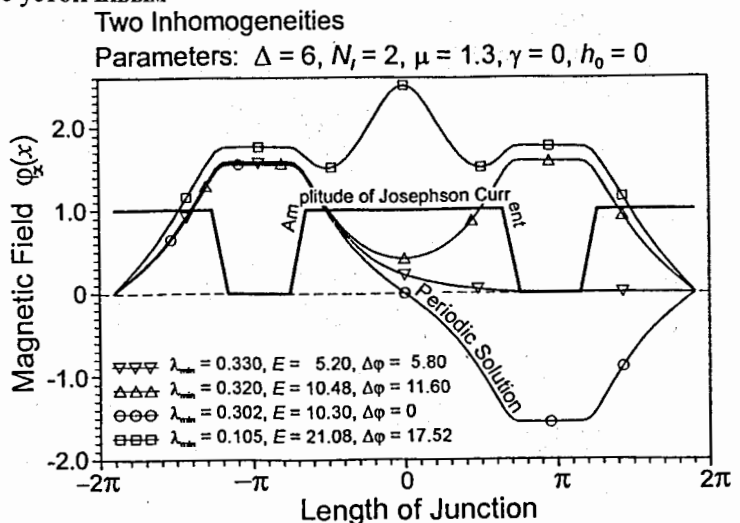
4. Графики зависимости минимального собственного значения λ_{\min} задачи Штурма-Лиувилля (3), (4) от ширины μ неоднородностей для решений “□” и “Δ” с рис.2



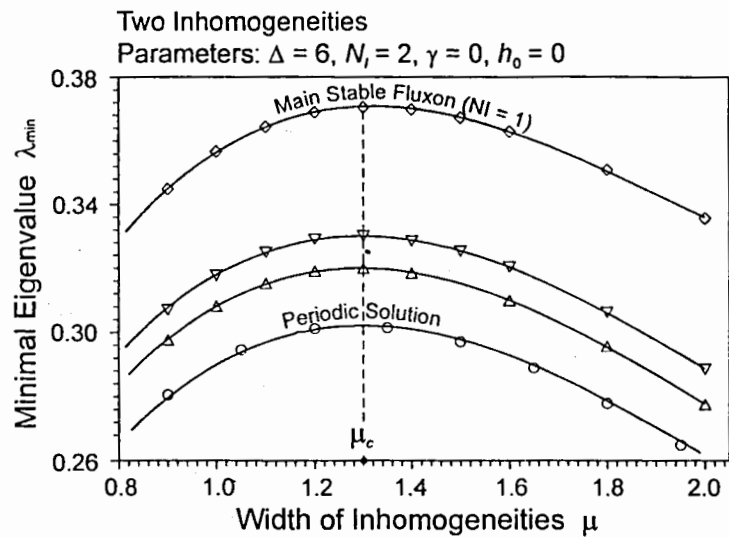
5. Некоторые устойчивые (“○” и “▽”) и неустойчивые (“◊” и “□”) распределения магнитного поля $\phi_x(x)$ вдоль решетки из неоднородностей при $N_l = 2, \Delta = 9.5, \mu = 2.4, \gamma = 0$



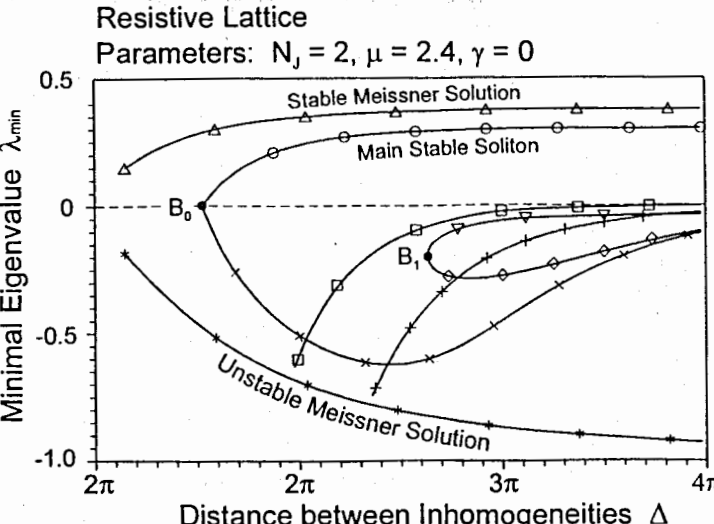
6. График зависимости минимального собственного значения λ_{\min} задачи Штурма-Лиувилля (3), (4) от ширины μ неоднородностей в решетке с $N_j = 2$ для устойчивых решений с рис. 5 при разных значениях расстояния Δ между неоднородностями. Точка μ_c соответствует оптимальной ширине, при которой состояние является наиболее устойчивым



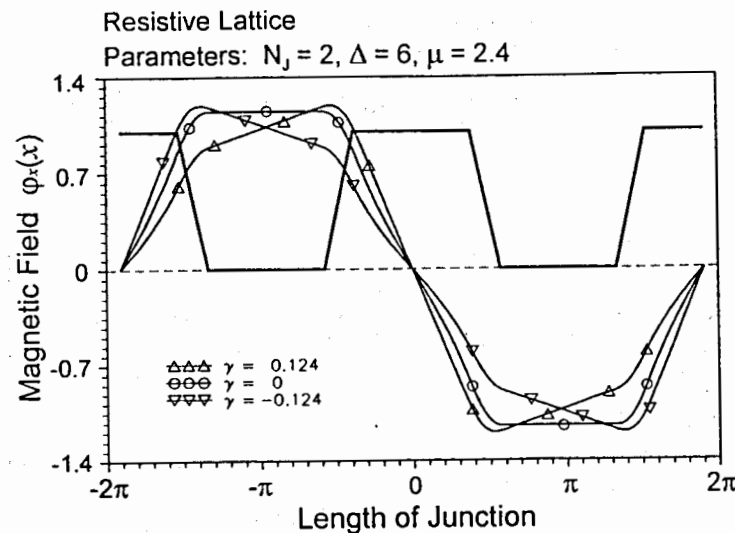
7. Устойчивые состояния магнитного поля $\Phi(x)$ в контакте с двумя неоднородностями и граничными условиями вида (6). Значения параметров: $\Delta = 6, N_j = 2, \mu = 1.3, \gamma = 0, h_0 = 0$. Величина $\Delta\phi = \Phi(R) - \Phi(-R)$ - полный магнитный поток через контакт



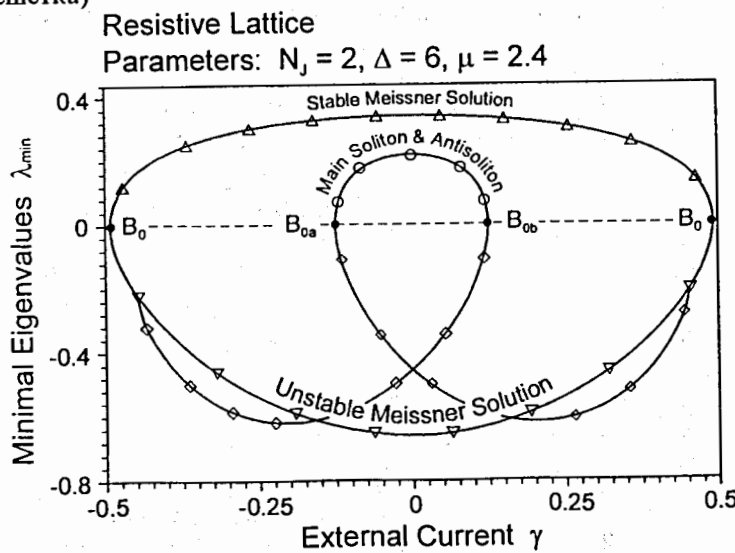
8. График зависимости минимального собственного значения λ_{\min} задачи Штурма-Лиувилля (3), (4) от ширины μ неоднородностей в контакте с одной и двумя неоднородностями и граничными условиями (6) для устойчивых решений с рис. 7 при разных значениях расстояния Δ между неоднородностями. Кружками "о" выделено периодическое решение



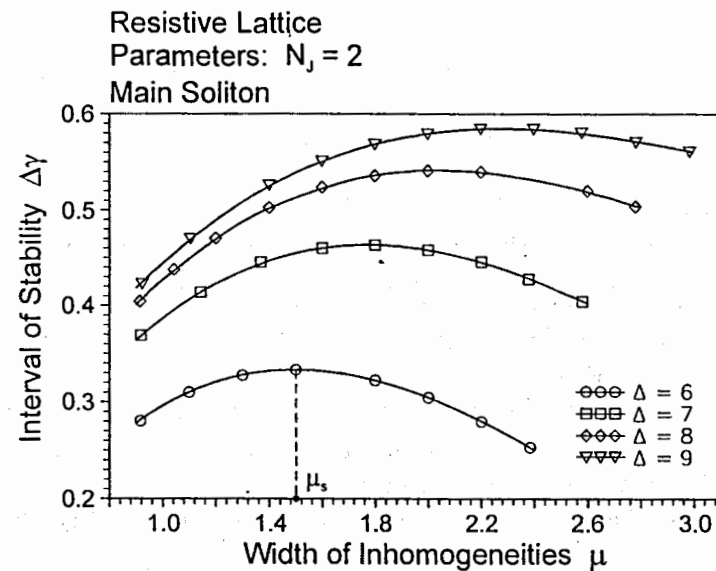
9. Зависимости минимального собственного значения λ_{\min} задачи Штурма-Лиувилля (3), (4) от расстояния Δ между неоднородностями. В точке B_0 происходит бифуркация устойчивого решения в неустойчивое, в точке B_1 - бифуркация неустойчивого решения в неустойчивое



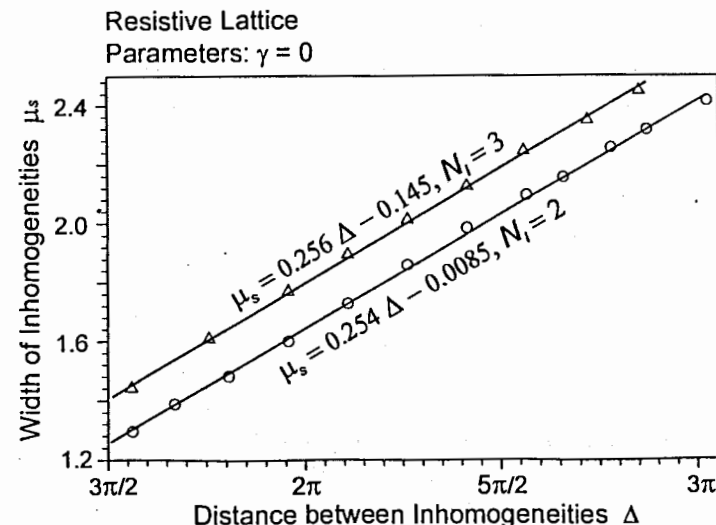
10. Деформация устойчивого солитона в решетке с $N_I = 2$ при изменении внешнего тока γ . Параметры $\Delta = 6$, $\mu = 2.4$ (симметрическая решетка)



11. Зависимость минимального собственного значения λ_{\min} задачи Штурма-Лиувилля (3), (4) от внешнего тока γ через контакт. Точки B_0 являются точками бифуркации для мейсснеровского решения, B_{0a} и B_{0b} - для периодического солитона с рис. 7



12. Интервал устойчивости $\Delta\gamma = \gamma_b - \gamma_a$ по току γ как функция ширины μ неоднородностей при разных значениях расстояния Δ . Точка μ_s определяет ширину неоднородностей, при которой интервал устойчивости является наибольшим



13. Прямые зависимости ширины μ_s , соответствующей наибольшему интервалу устойчивости, от расстояния Δ между неоднородностями для $N_I = 1$ и $N_I = 2$

Литература

1. N. Alexeeva, T. Boyadjiev, Periodic bound states in Josephson lattices of resistive inhomogeneities, Bulg. J. of Physics, 1996, N 3–4.
2. Ю.С. Гальперн, А.Т. Филиппов, ЖЭТФ, т. 86, N 4, 1984, стр. 1527–1543.
3. I.L. Serpuchenko, A.V. Ustinov, Solid State Comm., 68, 7, 1988, p.693.
4. B.A. Malomed, A.V. Ustinov, J. Appl. Phys., 67 (8), 1990, p. 3791.
5. А.В. Устинов, Джозефсоновские вихри в распределенных сверхпроводящих структурах, Диссертация на соиск. уч. степени доктора физ.-мат. наук, Черноголовка, 1994.
6. Е.П. Жидков и др., ЭЧАЯ, 1973, т. 4, N 1, стр. 127–166.
7. В.В Ермаков, Н.Н. Калиткин, ЖВМиМФ, 21, № 2, 1981, стр. 491.
8. Т.Л. Бояджиев и др., Сообщения ОИЯИ, Р11-85-807, Дубна, 1985.
9. А.Т. Филиппов, Частное сообщение, 1992.
10. T.L. Boyadjiev et al., JINR Communication, P17-86-506, Dubna, 1986.
- A.T. Filippov et al., Phys. Lett. A, 120 (1987), No. 1, p. 47.

Рукопись поступила в издательский отдел
30 января 1997 года.